

FIG. 1

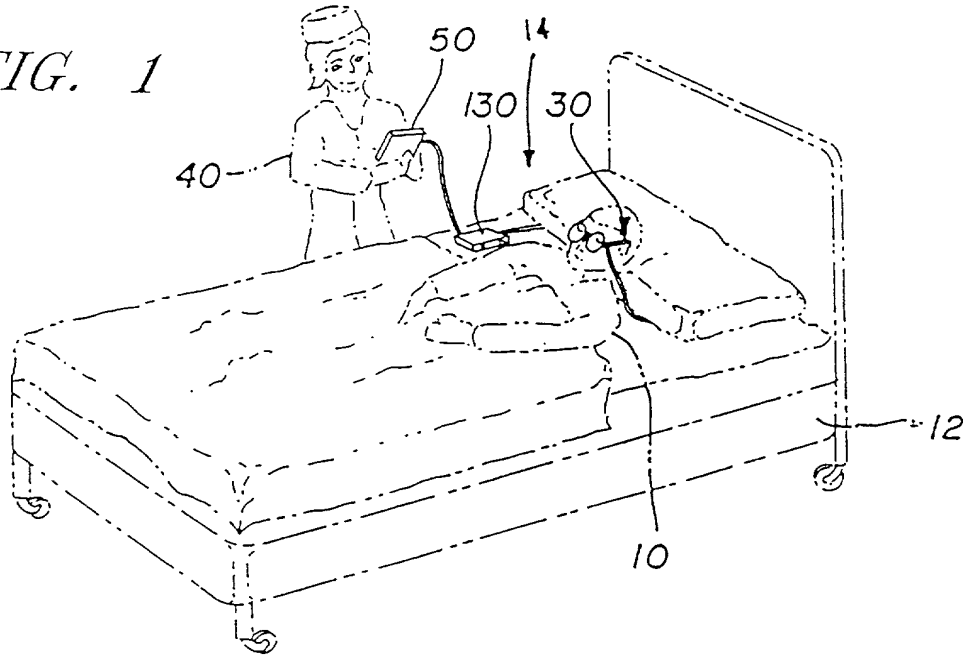
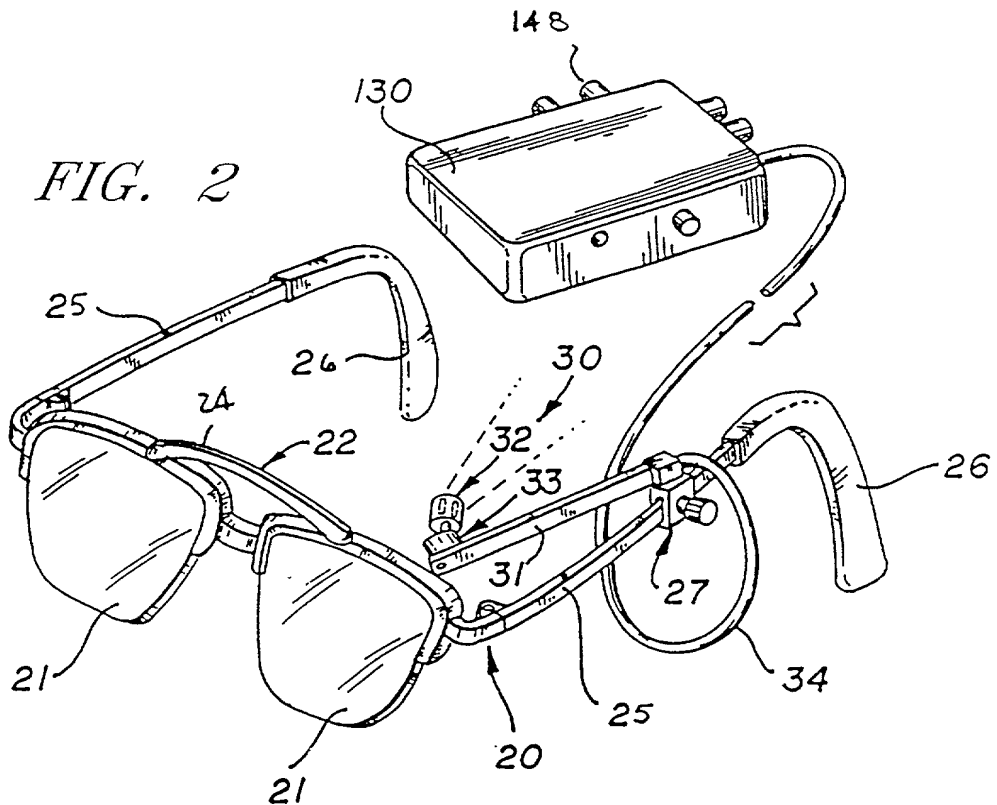


FIG. 2



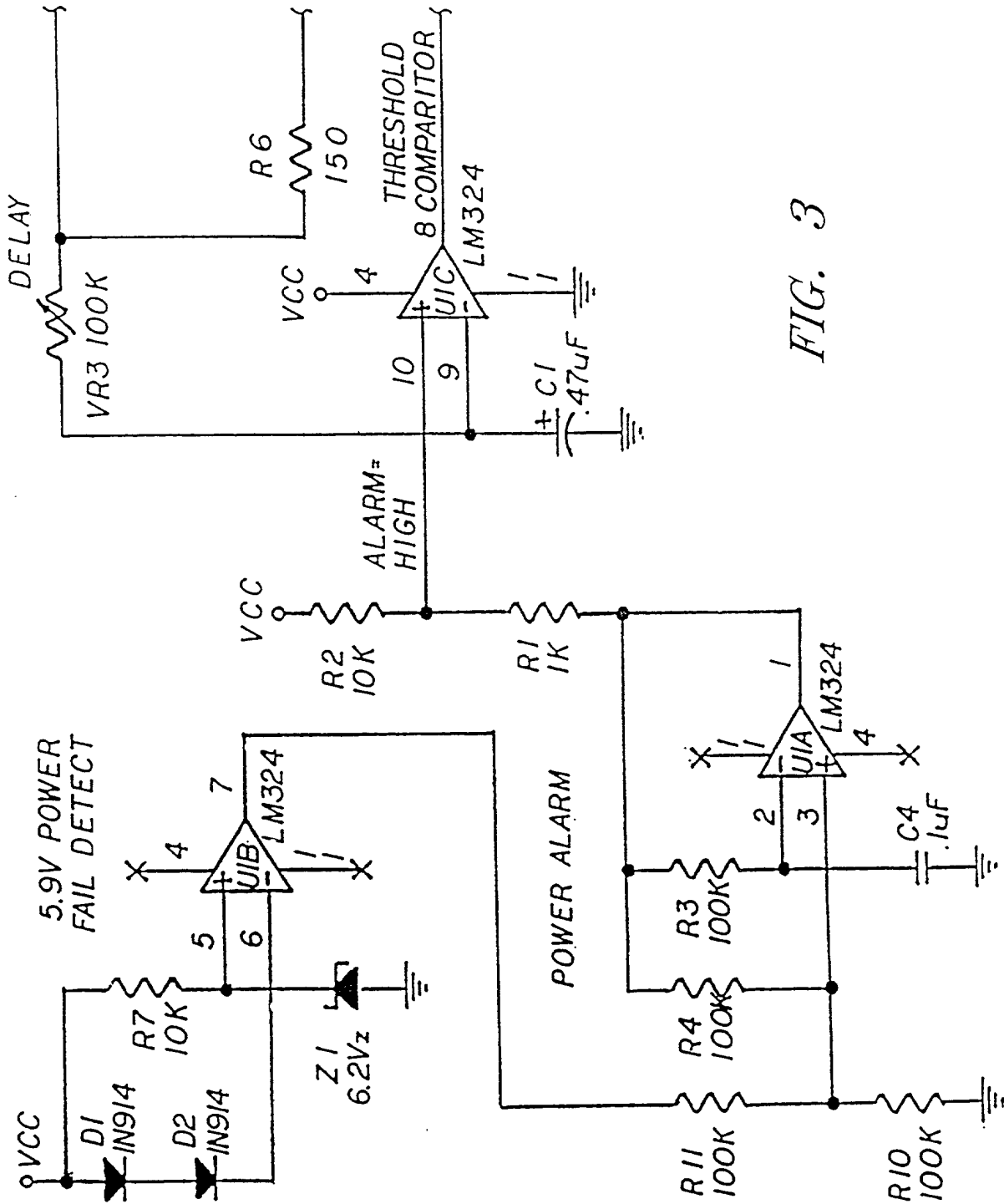


FIG. 3

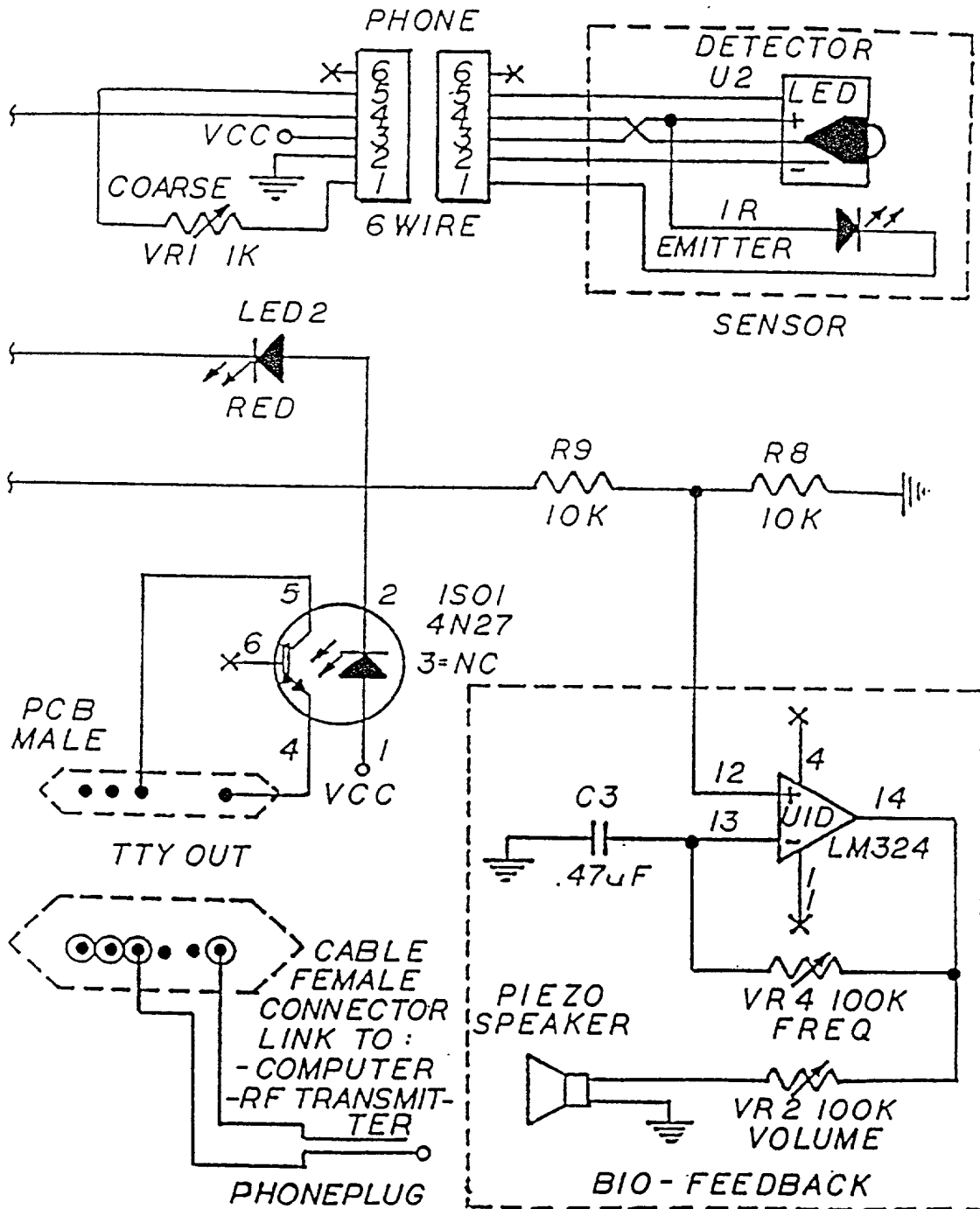


FIG. 3 CONT'D

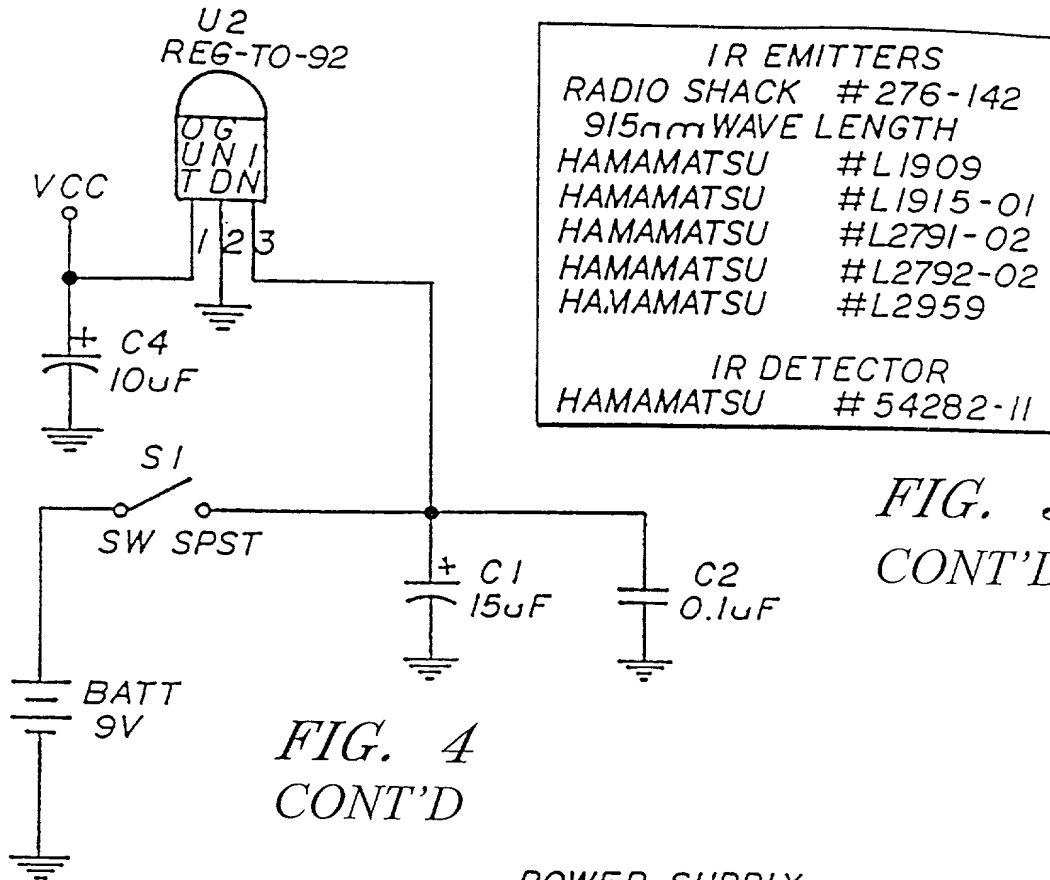


FIG. 3
CONT'D

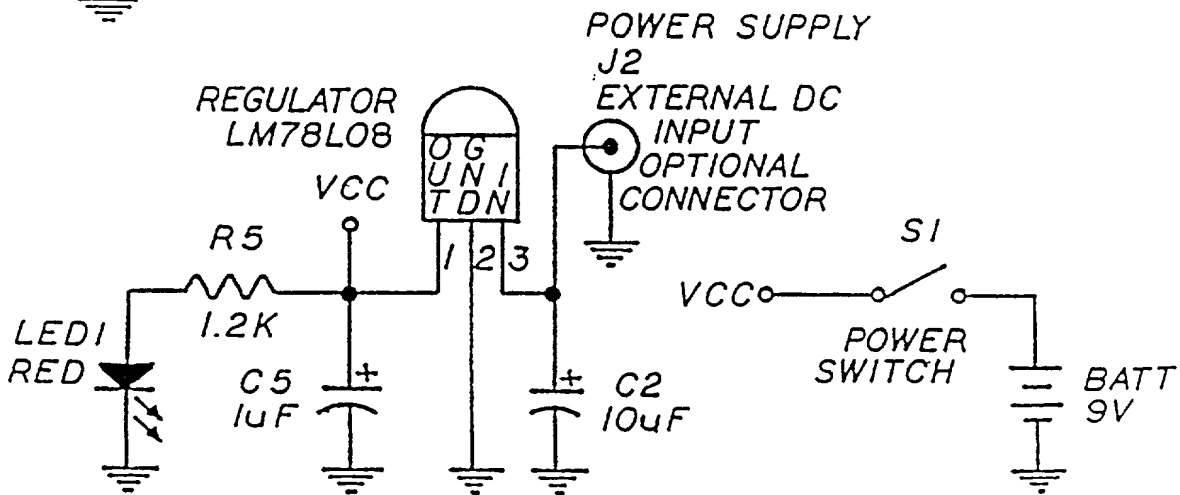


FIG. 3
CONT'D

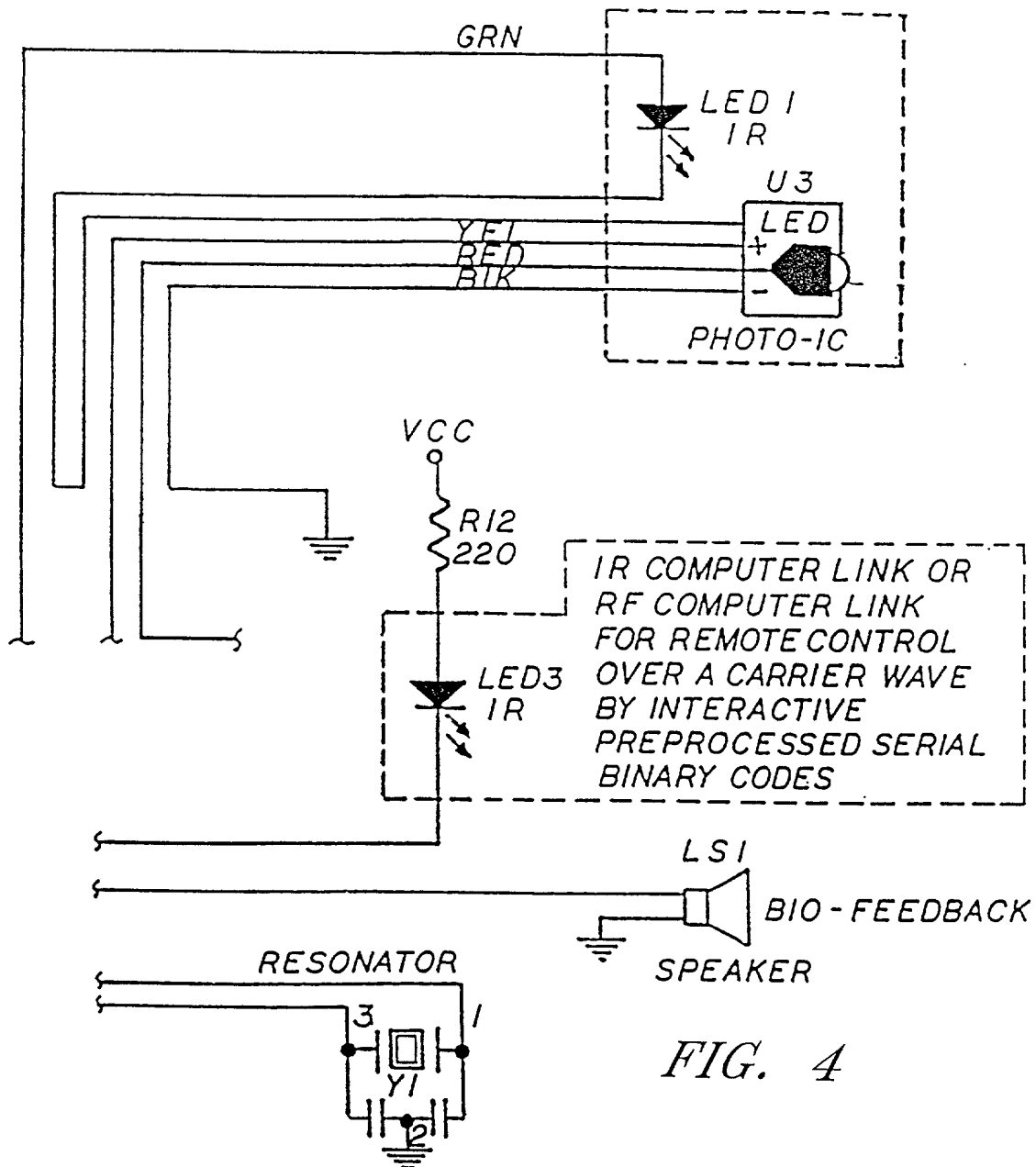
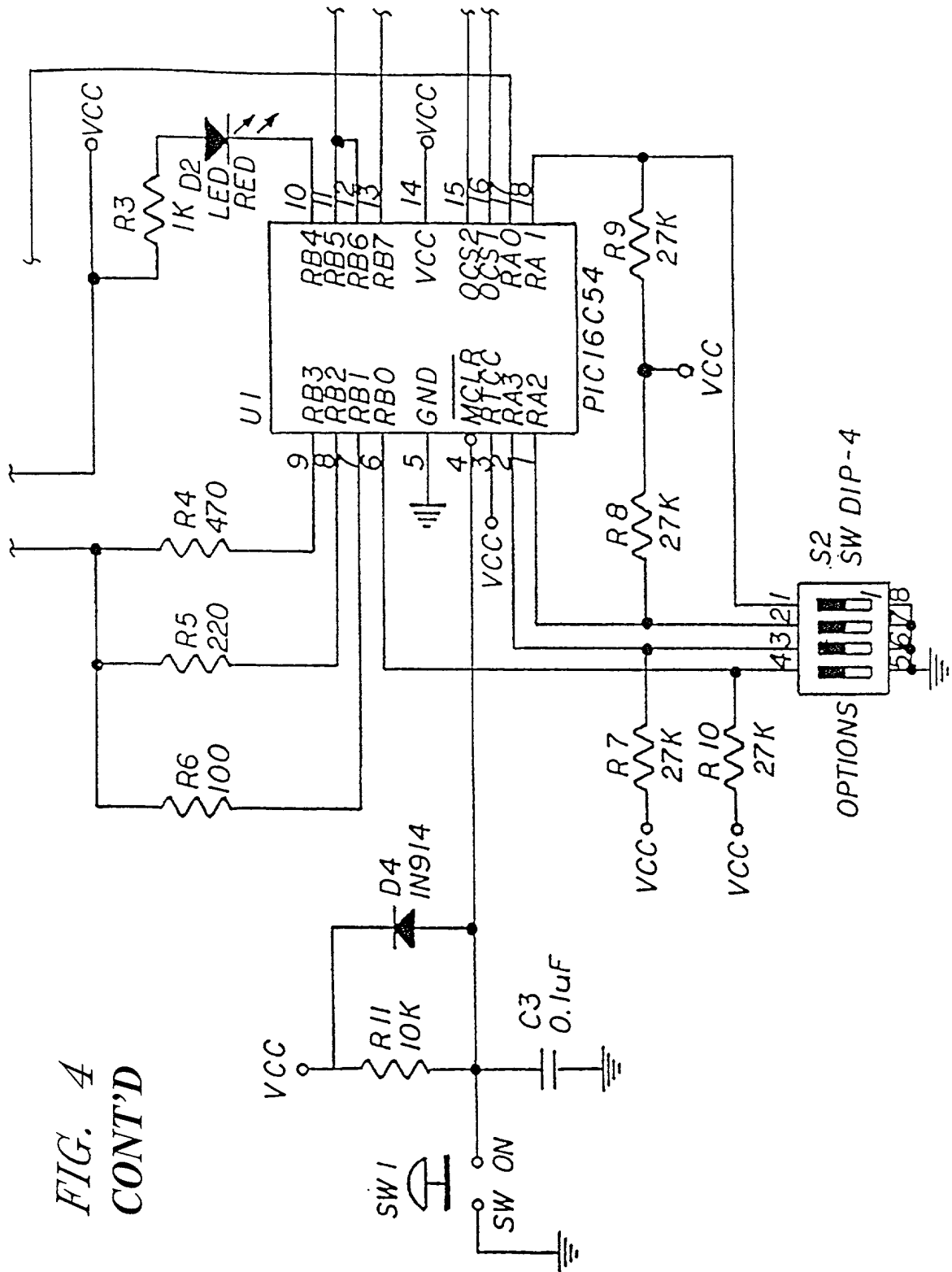


FIG. 4

FIG. 4
CONT'D



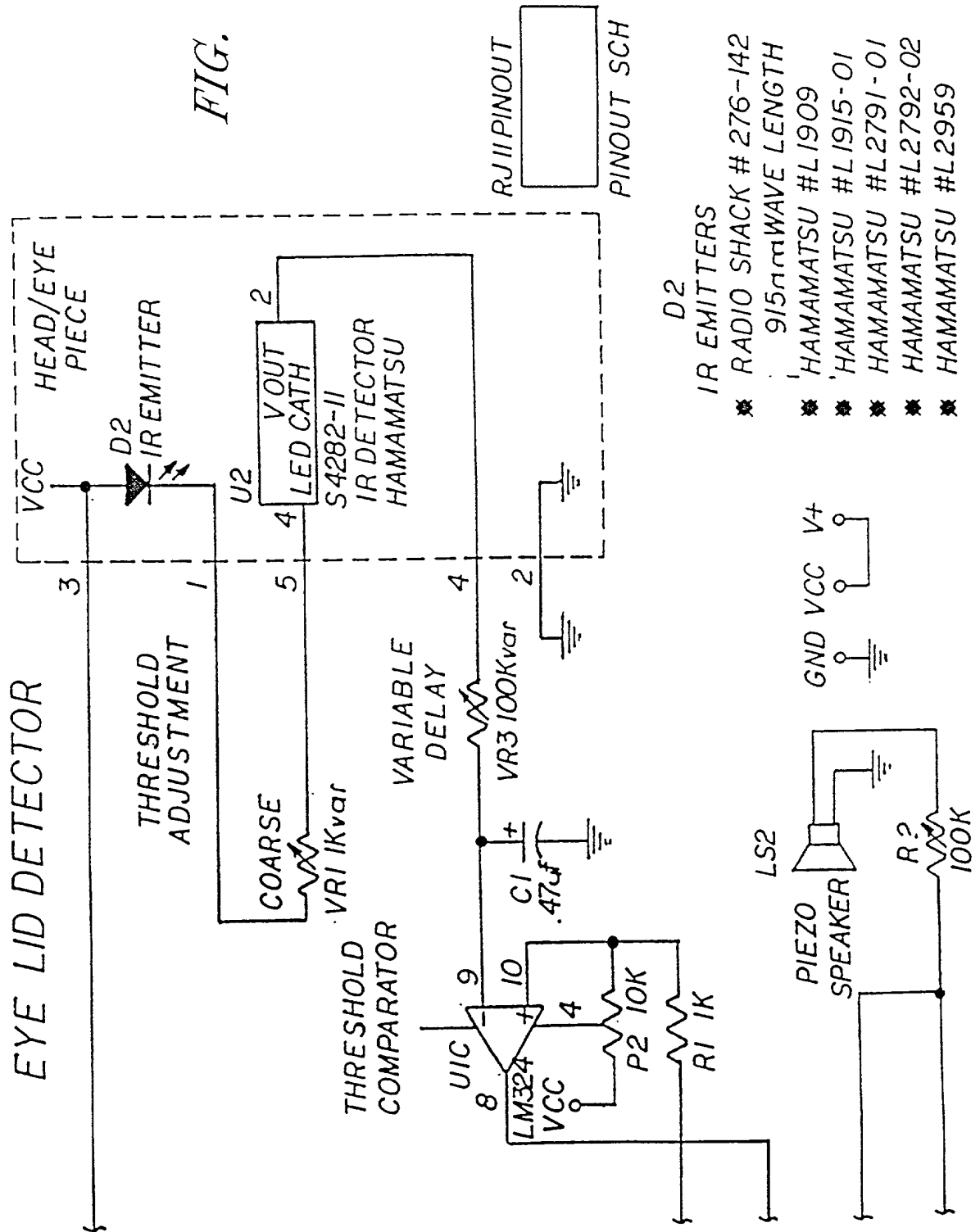
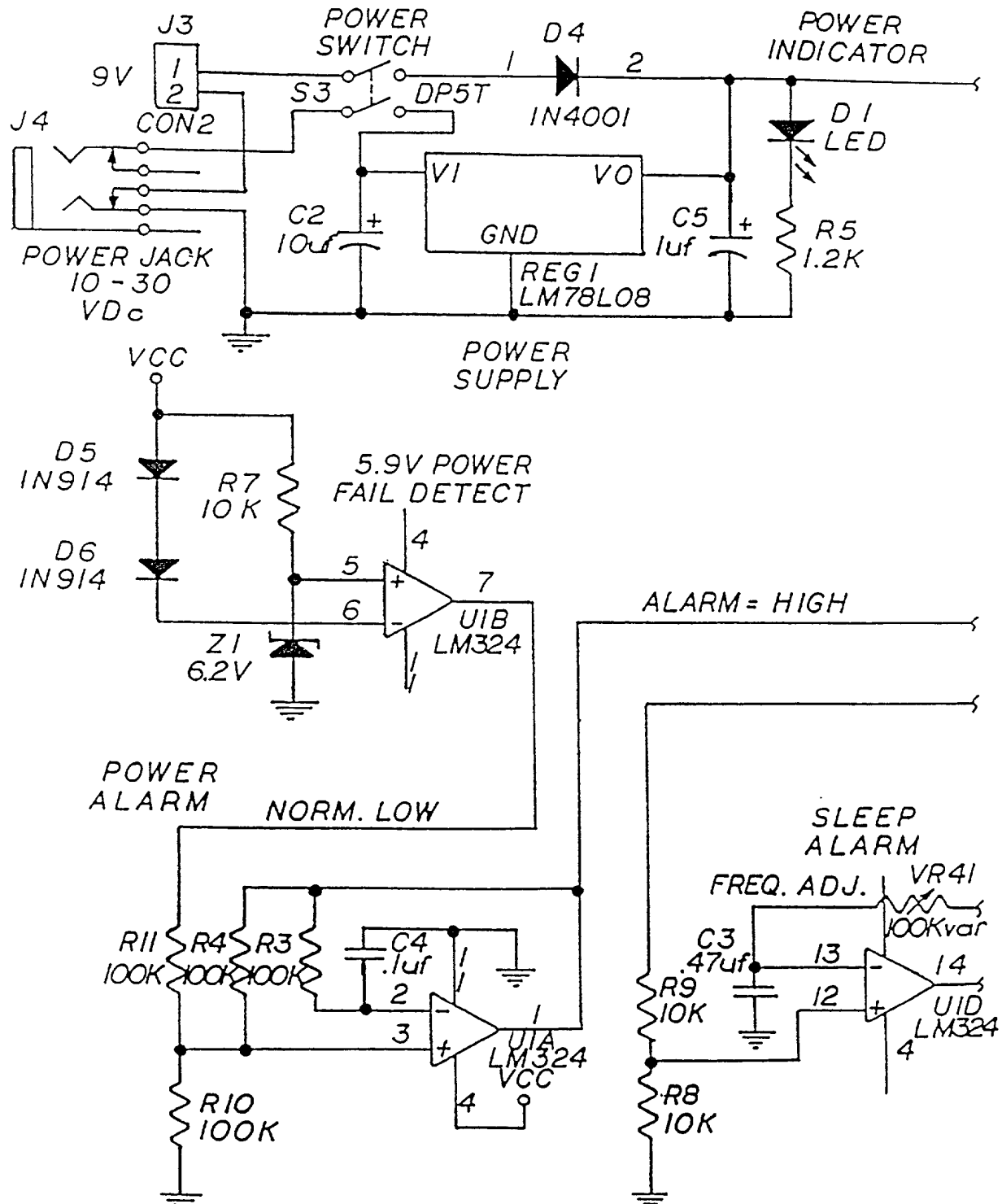
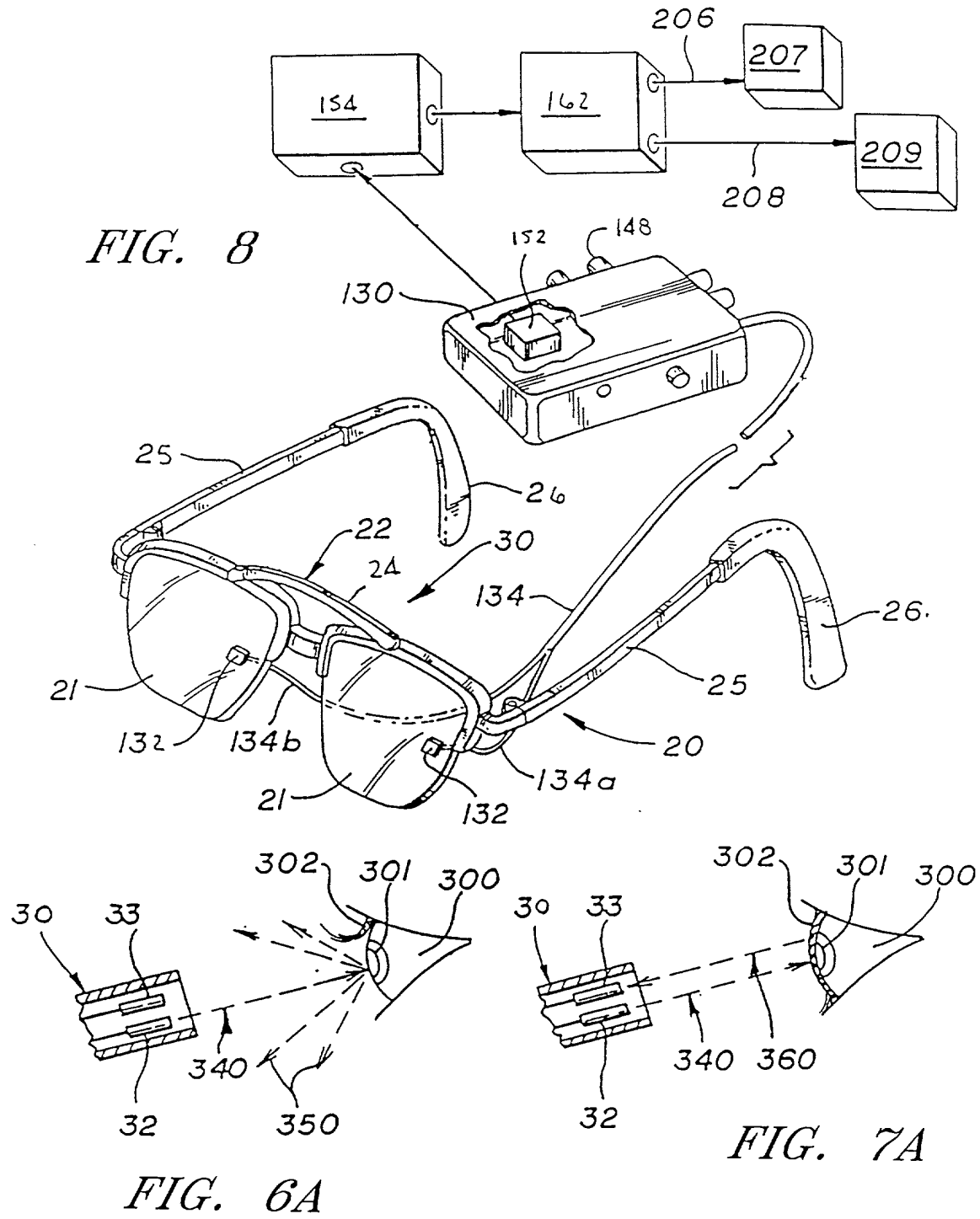


FIG. 5

FIG. 5
CONT'D





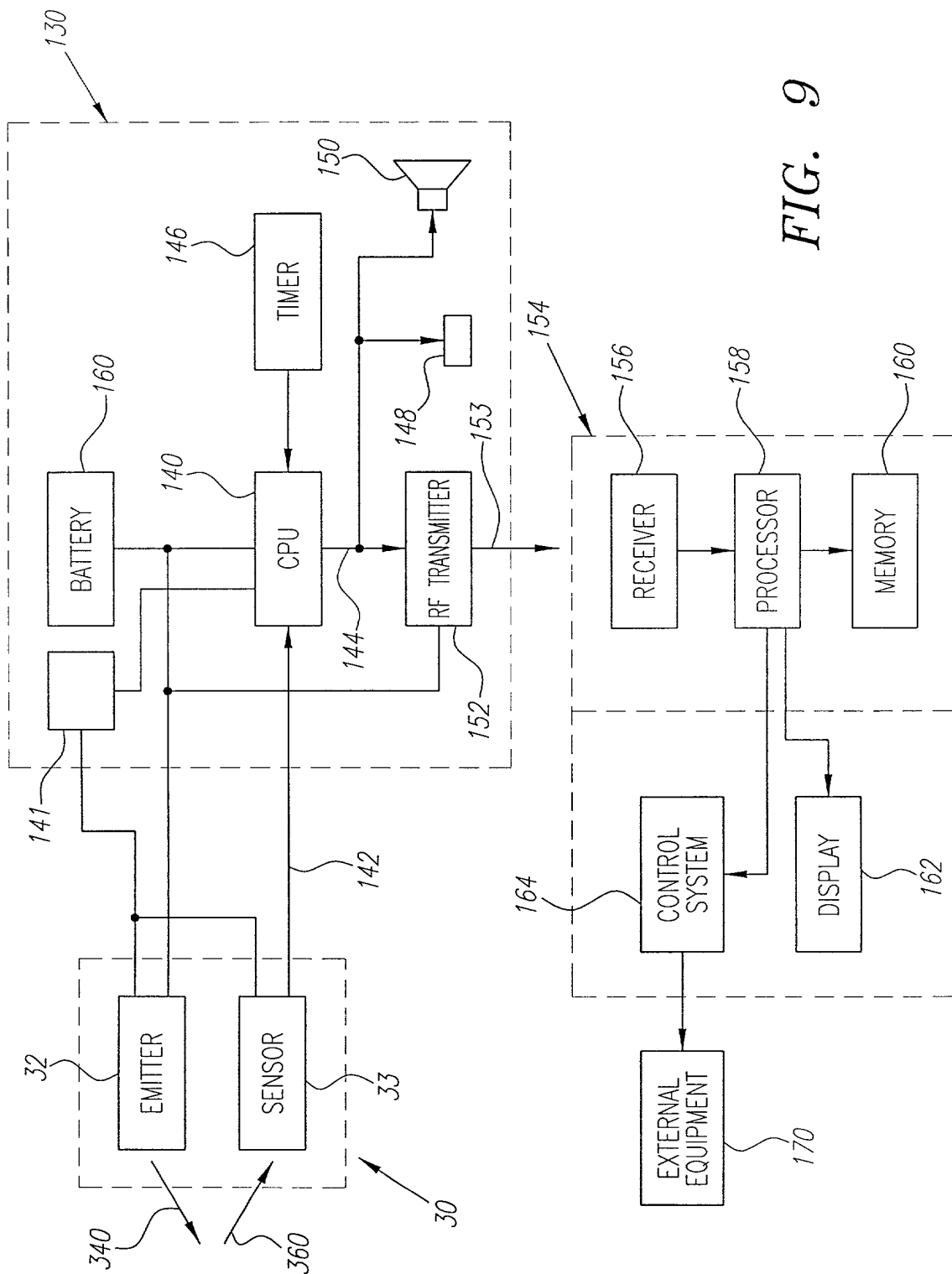
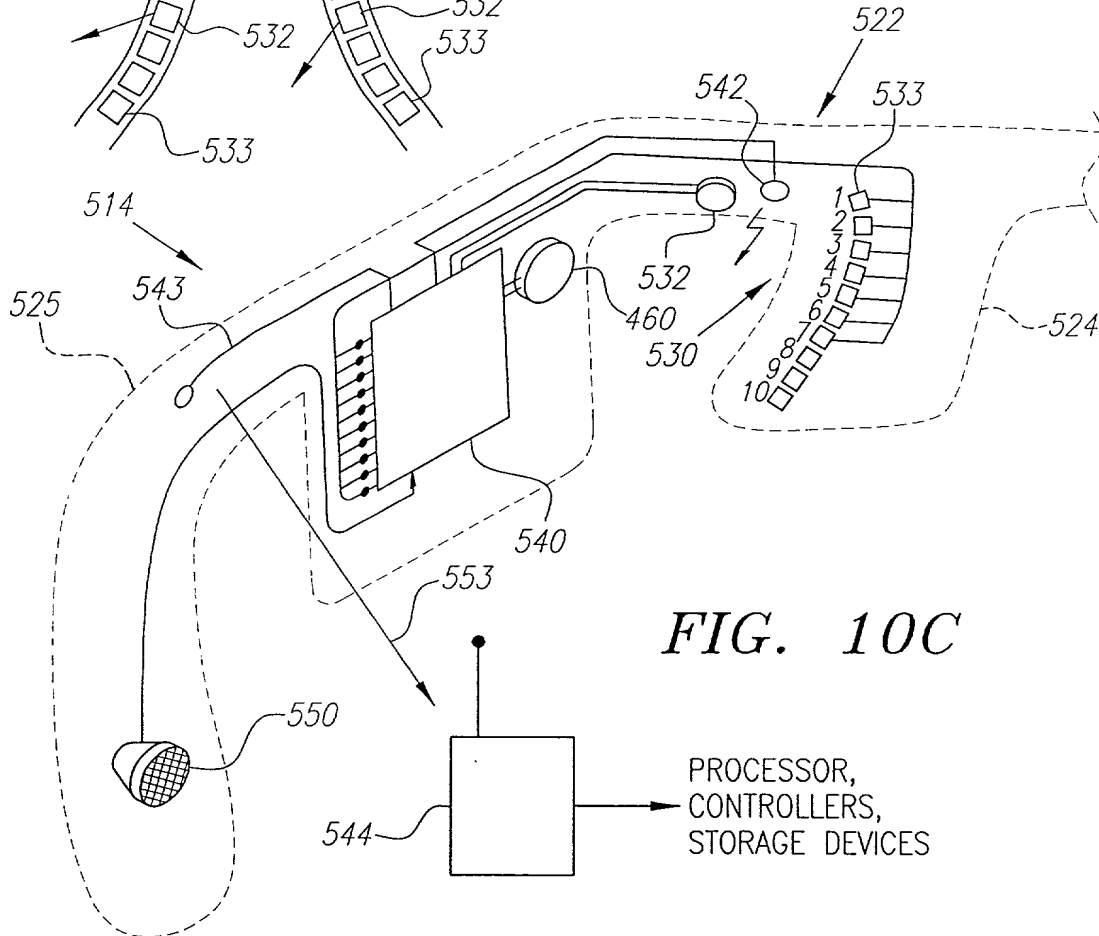
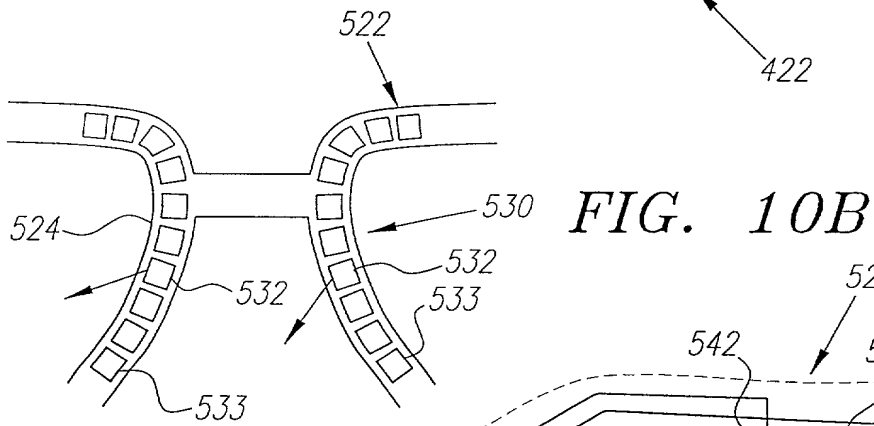
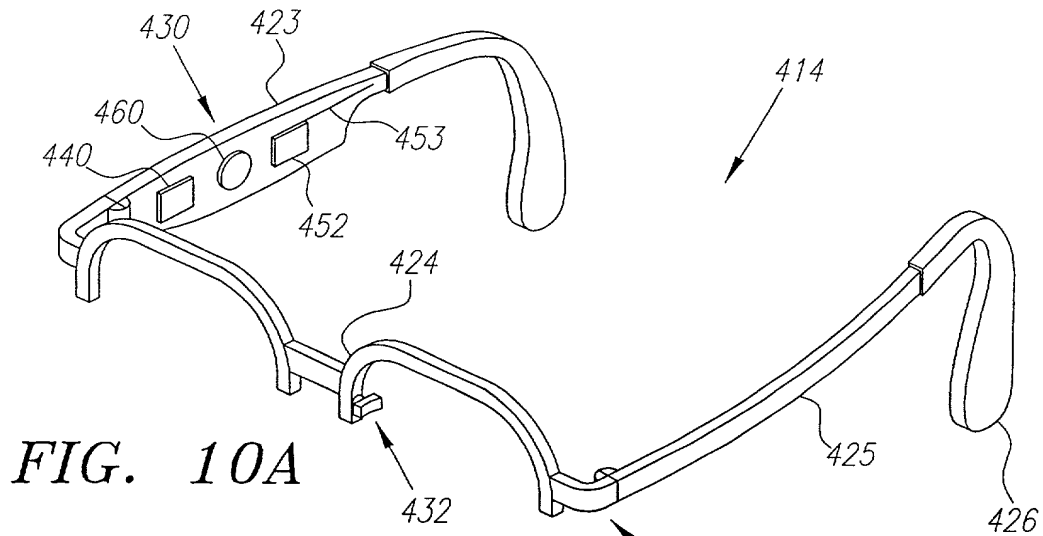
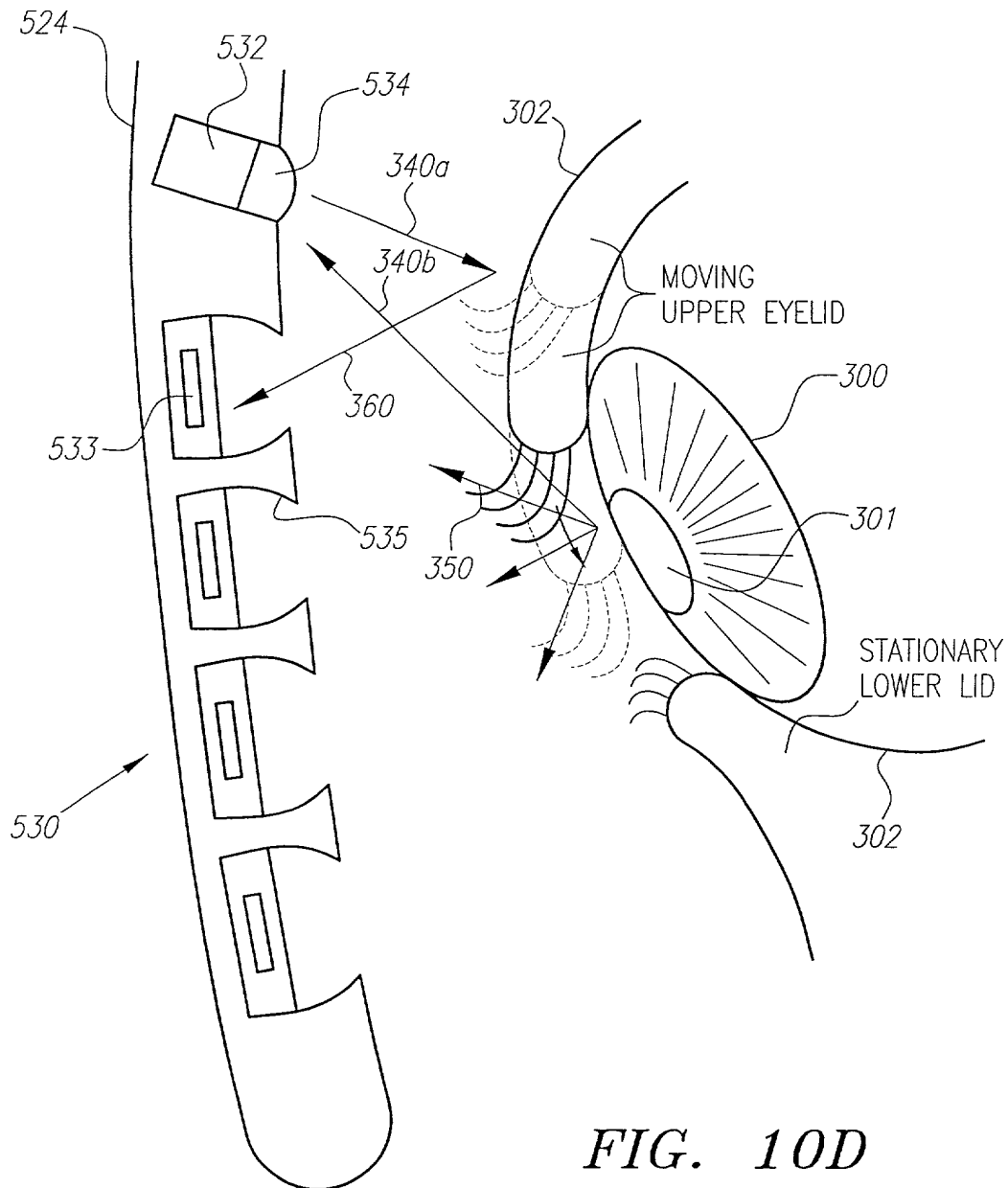


FIG. 9





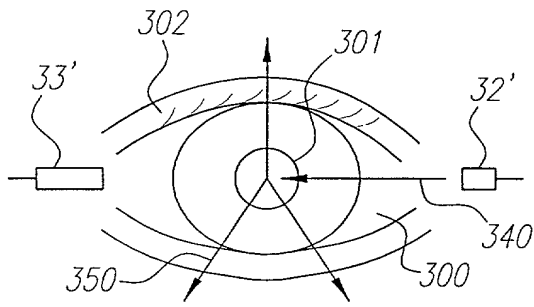


FIG. 6B

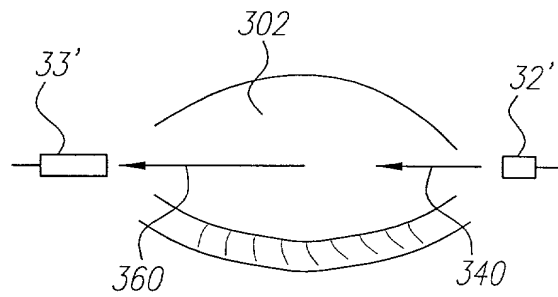


FIG. 7B

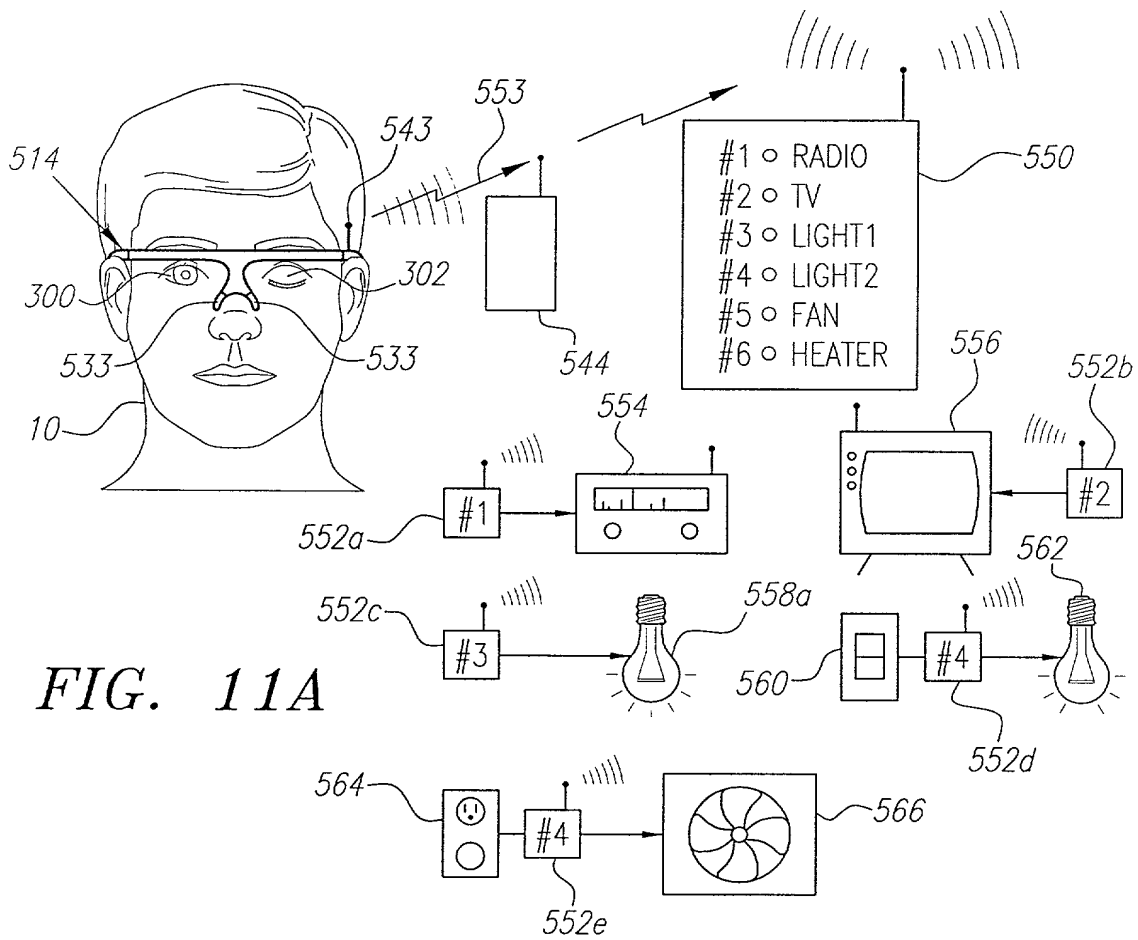


FIG. 11A

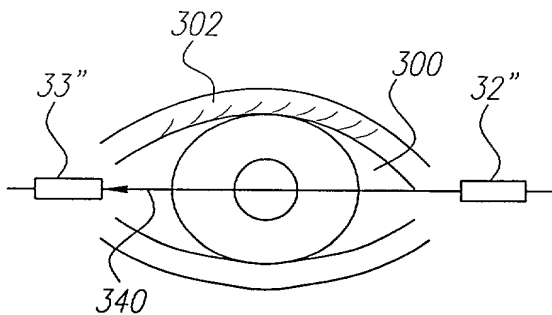


FIG. 6C

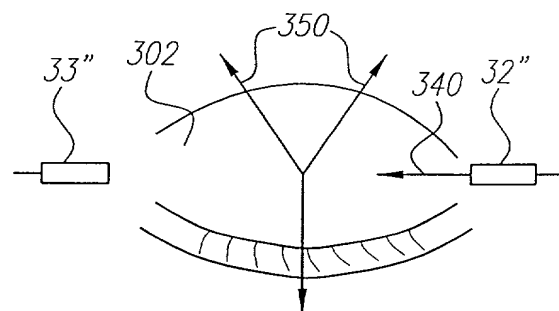


FIG. 7C

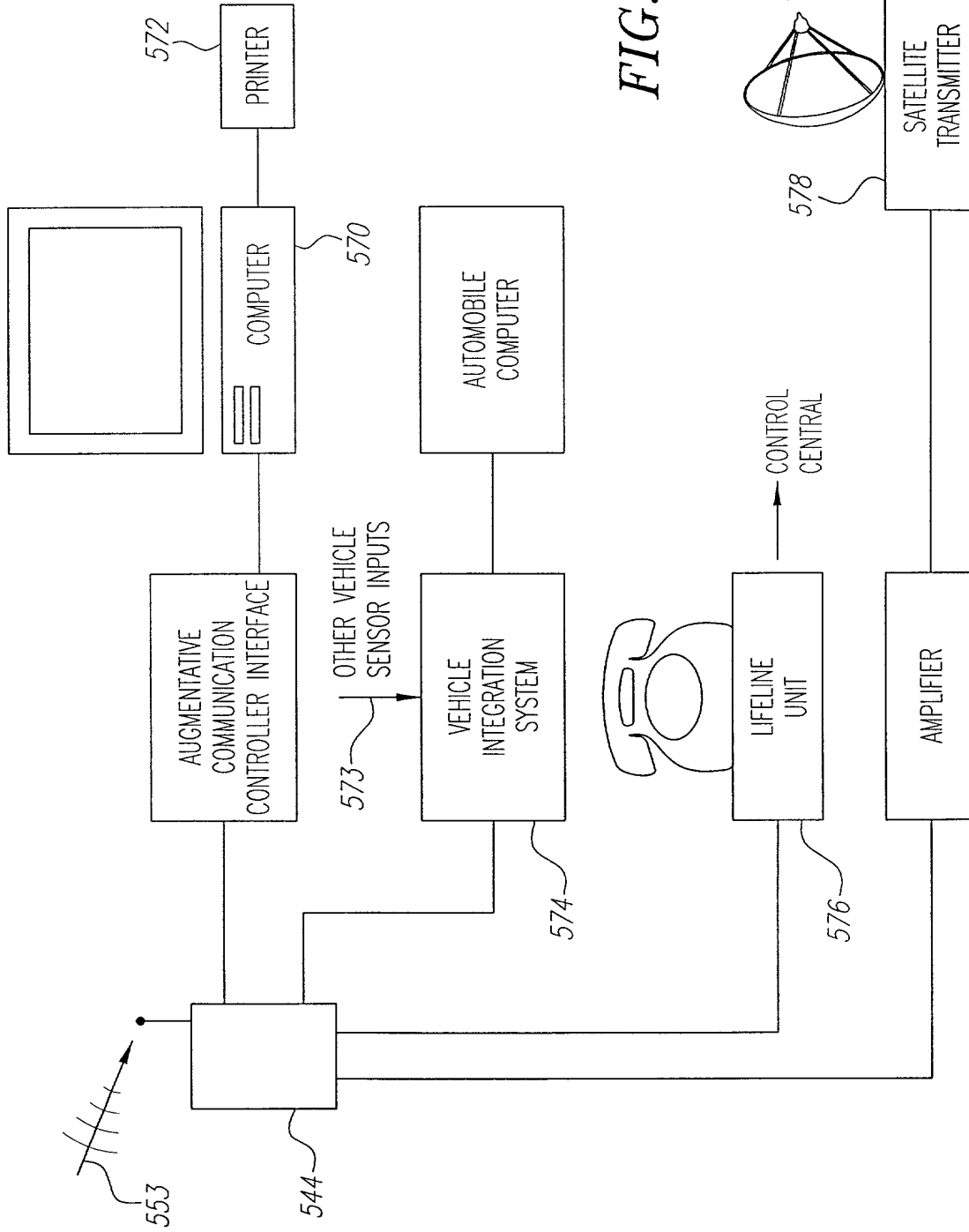


FIG. 11B

PERCLOS PERCENT % OF EYE LID CLOSURE

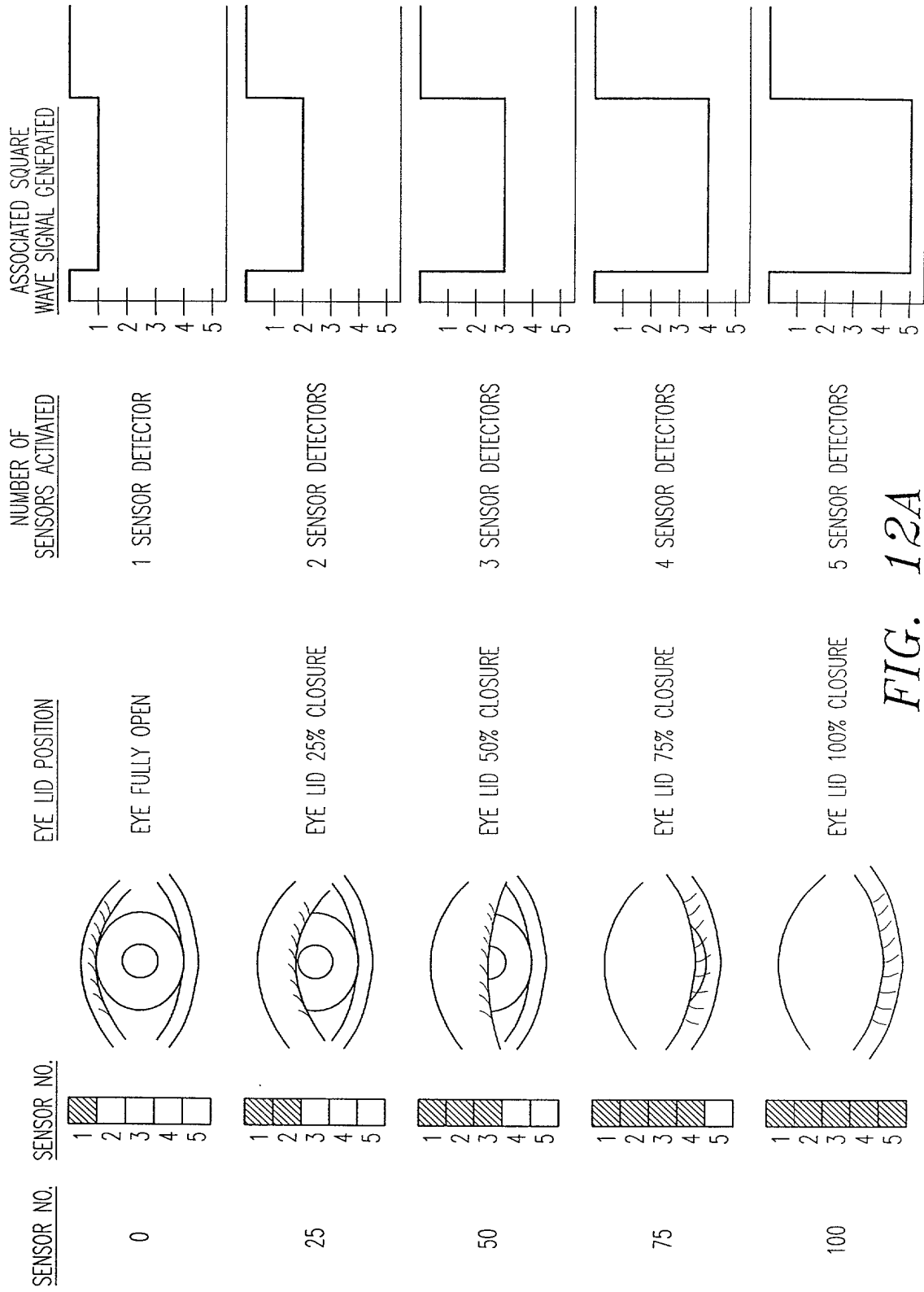
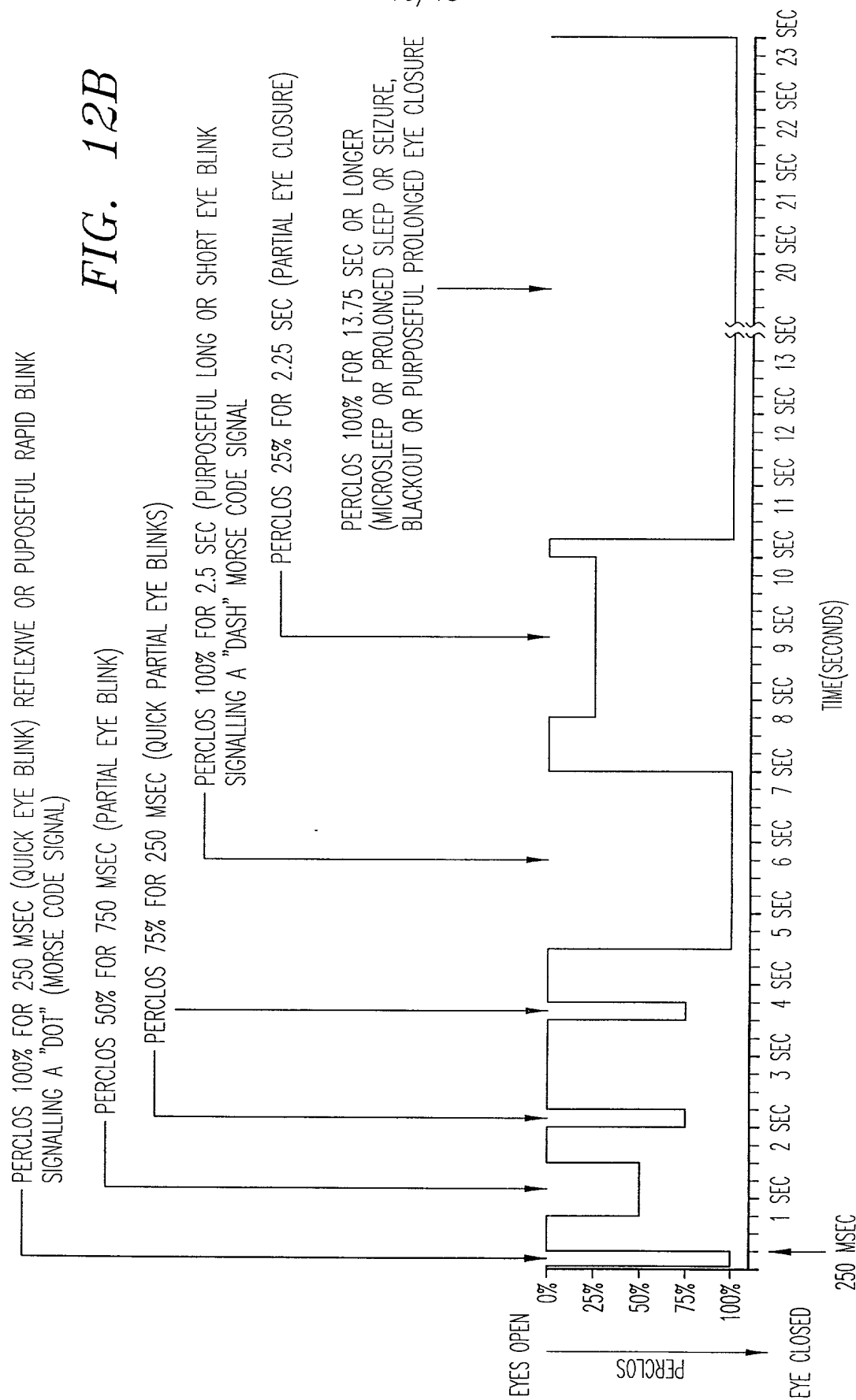


FIG. 12A



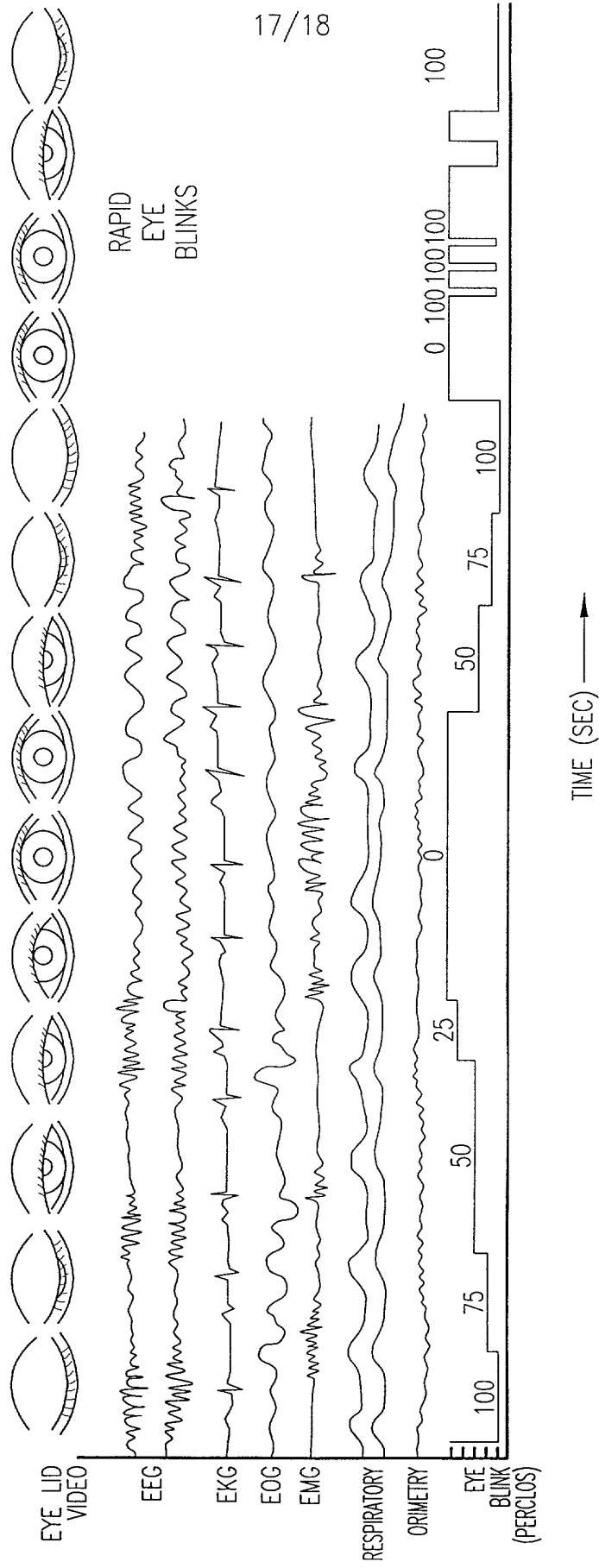


FIG. 12C

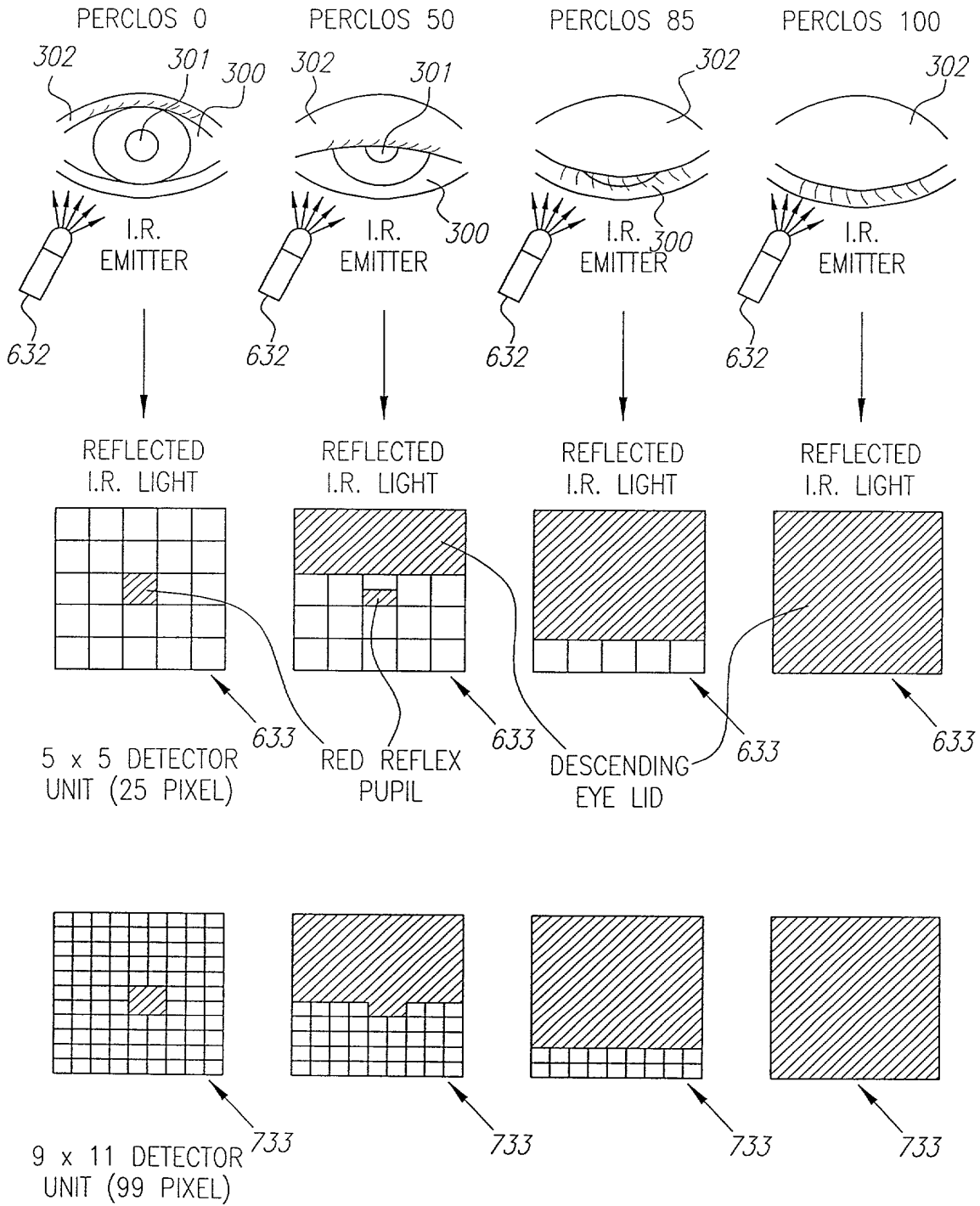


FIG. 12DI FIG. 12DII FIG. 12DIII FIG. 12DIV

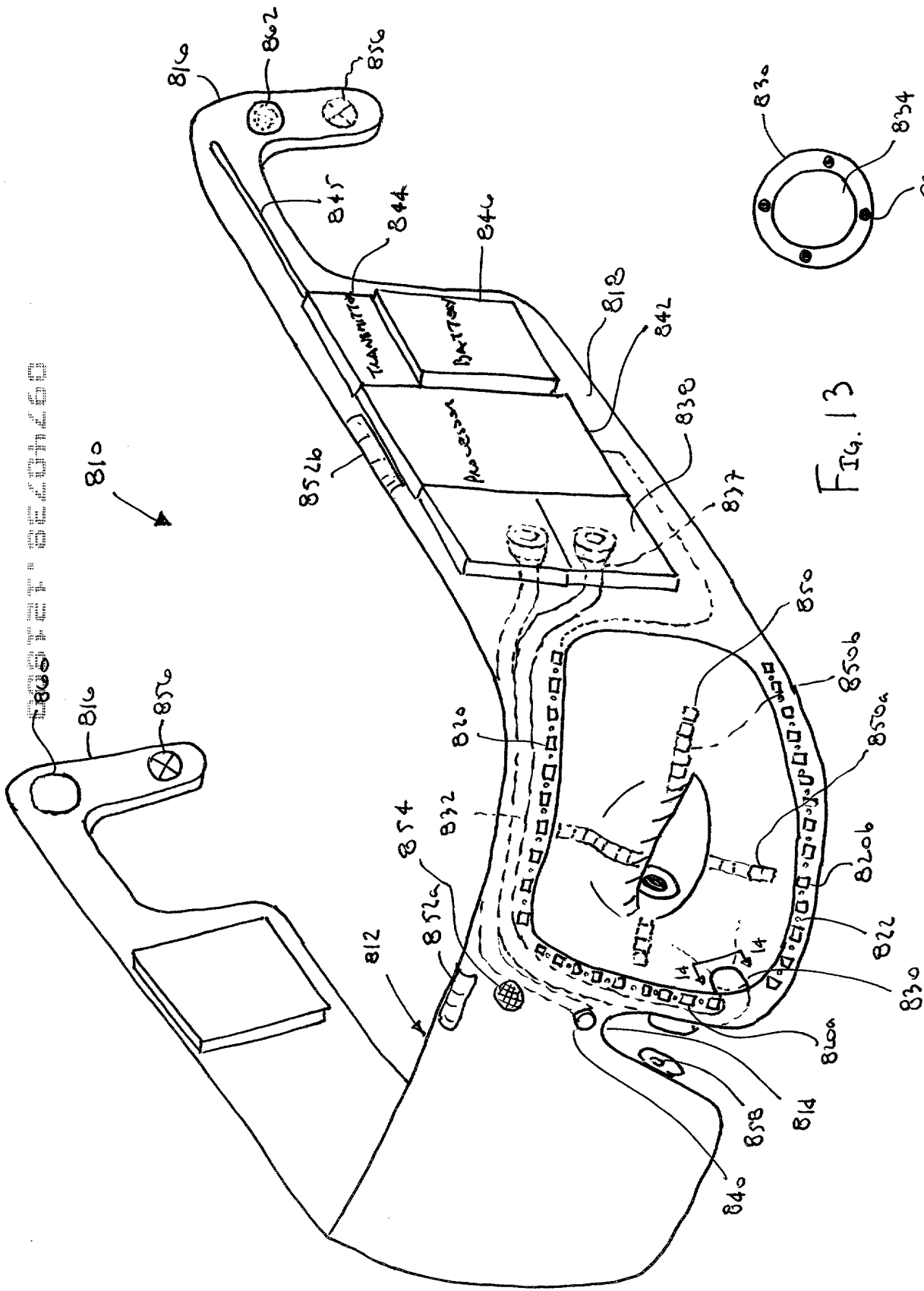


FIG. 13

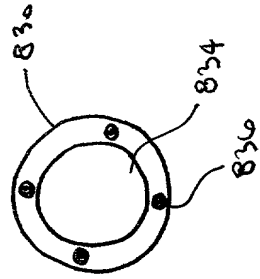


FIG. 14

SECRET

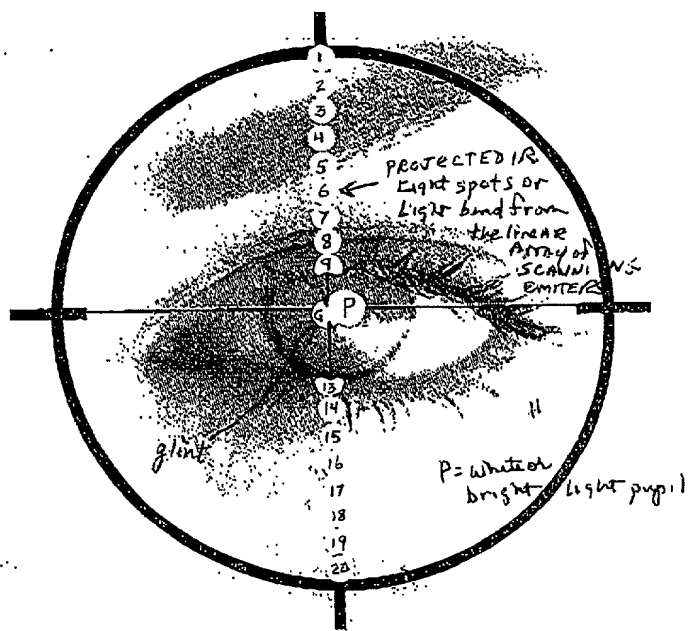


FIGURE 16

